тде  $P_0=10N/\tau$ ,  $\tau_0=1800\tau$ , а значения остальных параметров совпадают со значениями для предыдущего случая. В результате изменения  $\tau_c$  за счет временной зависимости импульса накачки значительно увеличивается время задержки  $t_0$  появления первого стоксова импульса.

В заключение надо отметить, что в предлагаемой теории не учитывались параметрические процессы, которые играют немаловажную роль в формировании антистоксова излучения, особенно в случае  $\tau_c \gg \tau$ , когда нельзя пренебрегать индуцированными процессами.

## СПИСОК ЛИТЕРАТУРЫ

[1] Андреев А. В., Емельянов В. И., Ильинский Ю. А.//УФН. 1980. 131. С. 653. [2] Раутиан С. Г., Черноброд Б. М.//ЖЭТФ. 1977. 72. С. 1342. [3] Емельянов В. И., Семиногов В. Н.//ЖЭТФ. 1979. 76. С. 34. [4] Пивцов В. С. и др.//ЖЭТФ. 1981. 81. С. 468. [5] Заболотский А. А., Раутиан С. Г., Сафонов В. П., Черноброд Б. М.//ЖЭТФ. 1984. 86. С. 1193.

Поступила в редакцию 25.02.87

ВЕСТН. МОСК. УН-ТА. СЕР. 3, ФИЗИКА. АСТРОНОМИЯ. 1988. Т. 29, № 4

## УДК 539.194

ДИНАМИЧЕСКИЙ РАСЧЕТ ЛИНЕЙНОГО И ЙЕЛИНЕЙНОГО ОТКЛИКОВ РАСТВОРОВ ОРГАНИЧЕСКИХ КРАСИТЕЛЕЙ В АДИАБАТИЧЕСКОМ ПРИБЛИЖЕНИИ

Б. А. Гришанин, В. М. Петникова, В. В. Шувалов

(кафедра общей физики и волновых процессов)

Проведен квантовый расчет линейного и нелинейного откликов электронно-колебательного перехода сложной молекулы. Сравнение с экспериментальными данными показывает, что метод расчета имеет наглядную физическую интерпретацию.

1. Введение. Современная лазерная спектроскопия позволяет регистрировать релаксационные процессы субпикосекундной длительности [1-3]. В сложных органических молекулах столь быстрые процессы обусловлены тем, что отклик на поле формируется всей молекулой существенна связь колебательной и электронной подсистем. Расчет отклика может быть проведен в рамках адиабатического приближения -{4—9]. Гамильтониан электрон-колебательного взаимодействия представляется в виде степенного ряда по оператору рождения колебательного «фонона», его члены описывают сдвиг потенциальных ям в верхнем и нижнем электронных состояниях, частотный эффект и ангармонизм [6]. Именно эти факторы определяют отклик сложной молекулы. Основной сложностью расчета является разработка моделей колебательной подсистемы. Подробно изучены простейшие модели с одной нормальной модой или с вырожденными частотами [6]. Для сложных молекул используются стохастические методы [5, 10]. Их «слабым местом» оказывается возможный разрыв между стохастическими и внутримолекулярными параметрами.

Целью работы являлся непосредственный динамический расчет линейной и кубической поляризаций растворов органических красителей для однофотонных электронных переходов  $S_0$ — $S_1$ , сравнение с экспериментальными результатами [1] и установление соответствия между внутримолекулярными и стохастическими параметрами.

2. Линейная и нелинейная поляризации молекулы. В соответствии с [1] рассматривалось воздействие на среду трех полей  $E_{1-3}=E_{0\;1-3}\exp i\left(\mathbf{k}_{1-3}\mathbf{r}-\omega_{1-3}t\right)$  с частотами, близкими к резонансной частоте перехода  $S_0-S_1$ , приводящее к появлению излучения на частоте  $\omega_4=\omega_1+\omega_2-\omega_3$  в направлении  $\mathbf{k}_4=\mathbf{k}_1+\mathbf{k}_2-\mathbf{k}_3$  (эффект самодифракции). В материальных уравнениях учитывались как внутримолекулярные процессы перестройки колебательной подсистемы под действием поля, так и внешние каналы релаксации: продольная релаксация (характерное время  $T_1$ ), обусловленная взаимодействием с электромагнитным вакуумом и неупругими межмолекулярными столкновениями; колебательная релаксация ( $T_3$ ), приводящая к установлению термодинамического равновесия внутри электронного состояния при межмолекулярных взаимодействиях; фазовая релаксация ( $T_2$ ). Таким образом,

$$\widetilde{\rho}_{jj} = -\gamma_1 \left( \widetilde{\rho}_{jj} - N\delta_{j1} \right) - \gamma_3 \left( \widetilde{\rho}_{jj} - N\widehat{\rho}_{jj} \right) - \frac{1}{i\hbar} \left[ \widetilde{V}, \ \widetilde{\rho} \right]_{jj}, \quad j = 1, 2,$$

$$\widetilde{\rho}_{12} = -\gamma_2 \widetilde{\rho}_{12} - \frac{1}{i\hbar} \left[ \widetilde{V}, \ \widetilde{\rho} \right]_{12}, \quad \gamma_{1-3} = T_{1-3}^{-1},$$

$$N_{vv'} = \overline{n}_v \delta_{vv'}, \quad \widetilde{\rho} = S^{-1} \rho S,$$

$$\widetilde{V} = S^{-1} V S, \quad S = \exp \left[ -\frac{i}{\hbar} H (t - t_0) \right],$$
(1)

где индексы 1, 2 нумеруют электронные состояния; H — полный гамильтониан молекулы;  $\bar{n}_v$  — равновесная функция чисел заполнения для v-й нормальной моды;  $\hat{\rho}_{ij}$  — полная населенность j-го электронного состояния, просуммированная по колебательному квантовому числу.

Решение (1) проводилось методом последовательных приближений. Электрон-колебательное взаимодействие ограничивалось учетом сдвига потенциальных ям. При усреднении произведений операторов эволюции использовалась техника Фейнмана [7]. Выражения для линейной и нелинейной поляризаций имеют следующий вид:

$$\begin{split} P_{\text{погл}}^{(1)}(\omega_{i}) &\sim \int_{0}^{\infty} d\tau \exp\left(-\gamma_{2}\tau + i\Delta\omega_{i}\tau\right) f\left(\tau\right) E_{f}(t-\tau); \quad \Delta\omega_{f} = \omega_{i} - \omega_{21}, \\ f\left(\tau\right) &= \exp\left(i\omega_{21}\tau\right) \left(\exp\left(-\frac{iH_{2}\tau}{\hbar}\right) \exp\left(\frac{iH_{1}\tau}{\hbar}\right)\right) = \\ &= \exp\left\{\frac{1}{2}\sum_{v} \Delta_{v}^{2} \left[\left(2\bar{n}_{v} + 1\right) \left(\cos\omega_{v}\tau - 1\right) - i\sin\omega_{v}\tau\right], \\ P^{(3)}(\omega_{4}) &\sim \int_{0}^{\infty} d\tau_{1} \int_{\tau_{1}}^{\infty} d\tau_{2} \int_{\tau_{2}}^{\infty} d\tau_{3} \left\{\exp\left[-\gamma_{2}\left(\tau_{1} + \tau_{3} - \tau_{2}\right) - \left(\gamma_{1} + \gamma_{3}\right)\left(\tau_{2} - \tau_{1}\right) \times \right. \\ &\times \left[\varepsilon\left(\tau_{3}, \tau_{2}, \tau_{1}\right) \left(\phi_{123} + \chi_{213}\right) + \varepsilon\left(\tau_{2}, \tau_{3}, \tau_{1}\right) \left(\chi_{321} + \chi_{312}\right)\right] + \\ &+ 2\gamma_{3} \int_{\tau_{3}}^{\infty} d\tau_{4} \exp\left[-\gamma_{2}\left(\tau_{1} + \tau_{4} - \tau_{3}\right) - \gamma_{1}\left(\tau_{3} - \tau_{2}\right) - \left(\gamma_{1} + \gamma_{3}\right)\left(\tau_{2} - \tau_{1}\right)\right] \times \\ &\times \left[\varepsilon\left(\tau_{4}, \tau_{3}, \tau_{1}\right) f\left(\tau_{4} - \tau_{3}\right) + \varepsilon\left(\tau_{3}, \tau_{4}, \tau_{1}\right) f\left(\tau_{3} - \tau_{4}\right)\right] \operatorname{Re} f\left(\tau_{1}\right)\right\}, \end{split}$$

$$\varepsilon(x, y, z) = \exp(i\Delta\omega_{1}x - i\Delta\omega_{2}y + i\Delta\omega_{3}z) E_{1}(t - x) E_{2}^{+}(t - y) E_{3}(t - z),$$

$$\varphi_{123} = f(\tau_{1}) f^{-1}(\tau_{2}) f(\tau_{3}) f(\tau_{2} - \tau_{1}) f^{-1}(\tau_{3} - \tau_{1}) f(\tau_{3} - \tau_{2}),$$

$$\chi_{ljk} = f^{*-1}(\tau_{l}) f^{*}(\tau_{j}) f(\tau_{k}) f^{-1}(\tau_{k} - \tau_{l}) f(\tau_{k} - \tau_{l}) f^{*}(\tau_{l} - \tau_{j}),$$

$$l, j, k = 1, 2, 3,$$

где  $\Delta_{\mathbf{v}}$  — безразмерный сдвиг потенциальных ям по  $\mathbf{v}$ -й нормальной:

координате;  $\omega_{21}$  — частота бесфононного перехода.

3. Результаты численного моделирования. Для дальнейших вычислений необходима определенная модель внутримолекулярных колебаний. Спектр собственных частот сложной молекулы достаточно богат, чтобы считать его сплошным и перейти в (2) от суммирования по нормальным модам к интегрированию по частотам. Именно этот переход связывает параметры динамического и стохастического описаний отклика молекулы. Предполагалось, что спектр частот нормальных колебаний имеет низкочастотную и высокочастотную области, в которых подынтегральная функция является лоренцевской. Ее составляющие характеризуются следующими величинами:

- 1) низкочастотная центральной частотой  $\omega_{01}$ , шириной  $\delta_1$  и параметром немарковости (квадрат вектора смещения потенциальных ям на частоте  $\omega_{01}$ )  $A_1$ ;
- 2) высокочастотная аналогичными параметрами  $\omega_{02}$ ,  $\delta_2$ ,  $A_2$ . В окрестности  $\omega=0$  добавлялись корректирующие лоренцевские контуры шириной  $\delta_{1,2}$ , устраняющие внесенный в этой точке вклад линейные по  $\tau$  члены, отсутствующие в исходном выражении (2). Сравнение с результатами стохастического описания [4, 10] позволяет выразитыспектральную плотность флуктуаций частоты перехода  $K_{\omega}$  через вектор смещения потенциальных ям:

$$\frac{1}{2}\sum \Delta_{\mathbf{v}}^{2}\left(\overline{n_{\mathbf{v}}}+\frac{1}{2}\right)(1-\cos\omega_{\mathbf{v}}\tau)=\int_{0}^{\infty}d\omega\omega^{-2}K_{\omega}(1-\cos\omega\tau).$$

Подынтегральная функция динамической модели учитывает зависимость  $\Delta_v = \Delta(\omega_v)$  и соответствует  $2K_\omega\omega^{-2}$ . Линейный отклик (2), отвечающий спектру поглощения, определяется теперь квадратурой:

$$P_{\text{norn}}^{(1)}(\omega_{i}) \sim \int_{0}^{\infty} d\tau \exp\left\{i\Delta\omega_{i}\tau - \gamma_{2}\tau - \sum_{\kappa=1,2} A_{\kappa} \exp\left(-\delta_{\kappa}\tau\right) \times \left[(\overline{2}n_{0\kappa} + 1)\left(1 - \cos\omega_{0\kappa}\tau\right) + i\sin\omega_{0\kappa}\tau\right]\right\},$$
(3)

 $\bar{n}_{0m}$  — эффективные значения чисел заполнения. Разложение экспонент вида  $\exp(X \exp(Y))$  в ряд Тейлора по аргументу  $X \exp(Y)$  позволяет провести численные расчеты и упрощает их физическую интерпретацию. Число существенных членов разложения определяется параметрами немарковости. Линейный отклик (3) после интегрирования выражается суммой лоренцевских линий, отвечающих многофононным переходам и уширенных внутримолекулярными процессами:

$$P_{\text{norn}}^{(1)}(\omega_{j}) \sim \sum_{k=0}^{\infty} \sum_{m=0}^{k} \sum_{l=0}^{m} \sum_{n=0}^{\infty} \sum_{r=0}^{n} \sum_{s=0}^{r} \times \frac{(-A_{1})^{k} (-A_{2})^{n} (-1)^{m+r} C_{m}^{k} C_{l}^{m} C_{r}^{n} C_{s}^{r} \overline{n}_{01}^{l} (\overline{n}_{01} + 1)^{m-l} \overline{n}_{02}^{s} (n_{02} + 1)^{r-s}}{k! \, n! \, \{i \, [\Delta \omega_{j} + (2l - m) \, \omega_{01} + (2s - r) \, \omega_{02}] + (\gamma_{2} + k\delta_{1} + n\delta_{2})\}}$$

$$(4)^{s}$$

При низких температурах  $\bar{n}_{01,2}$ =0 и остаются резонансы на частотах  $m\omega_{01}+r\omega_{02}$  только с фиолетового края от  $\omega_{21}$ .

Результаты численной аппроксимации спектра линейного поглощения этанольного раствора органического красителя оксазин-18 на основе (4) приведены на рис. І. Предполагалось, что спектры поглощения— испускания симметричны относительно бесфононной линии и  $\bar{n}_{01,2}$ =0. Подбор параметров проводился методом градиентного спуска и дал оптимальные значения

$$\gamma_2 = 351 \text{ cm}^{-1}, \ \omega_{01} = 236 \text{ cm}^{-1}, \ \delta_1 = 220 \text{ cm}^{-1}, \ A_1 = 6.8, \ \omega_{02} = 1500 \text{ cm}^{-1}, \ \delta_2 = 210 \text{ cm}^{-1}, \ A_2 = 0.13.$$

Среднеквадратичное отклонение жоэффициента поглощения по 43 экспериментальным точкам составило 0,02. Изменение каждого параметра на 20—30% увеличивало ошибку вдвое. Одновременная их вариация расширяет эти пределы.

Найденные значения не противоречат общим представлениям о структуре сложных молекул. Соответствие с данными эксперимента получено при введении значительното марковского затухания у2, кото-

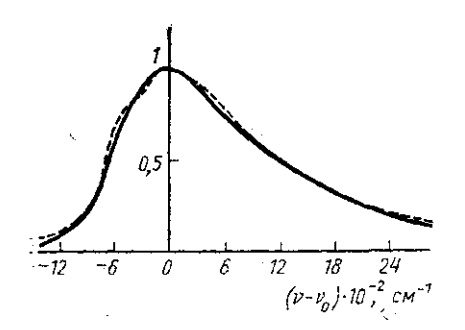


Рис. 1. Экспериментальный (сплошная линия) и теоретический (пунктир) спектры линейного поглощения этанольного раствора органического красителя оксазин-18

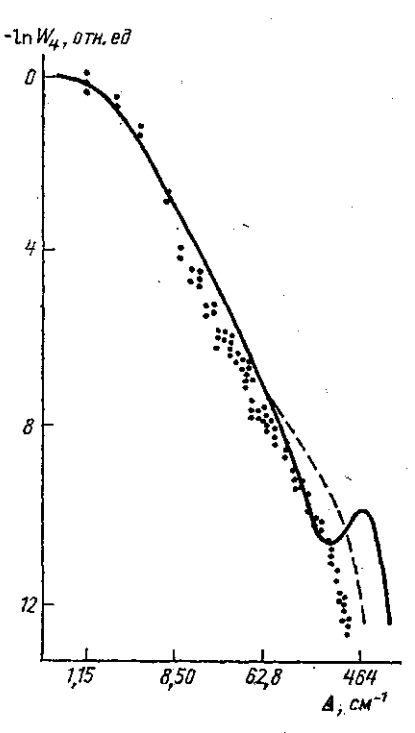


Рис. 2. Зависимость энергии рассеянного поля  $W_4$  от частотной расстройки  $\Delta$  бигармонической накачки: расчетные кривые для оксазина-18 ири  $\Delta < 0$  (силошная линия) и  $\Delta > 0$  (пунктир); экспериментальные данию [1] (точки)

рое невозможно объяснить лишь межмолекулярной релаксацией. Его причиной является неучтенный здесь частотный эффект, отвечающий квадратичному члену в разложении гамильтониана электрон-фононного взаимодействия. Величина  $\gamma_2$  меньше, чем в [1—3], поскольку скорость внутримолекулярного затухания в значительной степени обусловлена большой величиной параметра немарковости низкочастотной компоненты. Проведенное квантовое рассмотрение приводит к комплексному показателю экспоненты в (2). При классическом описании он действителен и не объясняет асимметрию линейного спектра [9]. Поэтому в

[10] искусственно учитывалась не только корреляция флуктуаций частоты, но и их коммутатор. Значительная величина  $\delta_1$ , сравнимая с  $\omega_{01}$ , подтверждает правомерность стохастического подхода [4, 5, 10].

Данные четырехфотонной спектроскопии рассеяния света [1] являются источником дополнительной информации о внутримолекулярных процессах. В отличие от линейного нелинейный отклик обусловлен как внутри-, так и межмолекулярными взаимодействиями. Численный расчет проводился в рамках той же модели колебательной подсистемы. Нелинейный отклик также сводится к сумме лоренцевских линий, соответствующих набору многофотонных и многофононных переходов. В отличие от суммирования вероятностей переходов здесь учтены фазовые соотношения между членами.

При численном моделировании эксперимента [1] использовались результаты аппроксимации линейного отклика и параметры установки [1]: отстройка центральной частоты лазерных импульсов от максимума линии однофотонного поглощения (+285 см<sup>-1</sup>) и их спектральная ширина (1,1 см<sup>-1</sup>); феноменологически вводилась скорость колебательной релаксации (10 см<sup>-1</sup>), соответствующая частоте столкновений с моле-

кулами растворителя и одинаковая для обоих термов.

Результаты расчета и экспериментальные данные [1] приведены на рис. 2, где показана зависимость энергии рассеянного в первый боковой максимум поля  $W_4$  от расстройки частот бигармонической нажачки  $\Delta = \omega_1 - \omega_2$ .

Характерной особенностью нелинейного отклика рис. 2 является асимметрия ветвей  $\Delta>0$  и  $\Delta<0$ , связанная с прохождением частоты одной из взаимодействующих волн через бесфононную линию. Положение этого резонанса зависит от выбора центральной частоты импульсов накачки. В рамках марковских (двух- и четырехуровневых) моделей восприимчивости [1] отмеченные особенности принципиально отсутствуют: трактовка экспериментальных кривых в терминах времени внутримолекулярной фазовой релаксации невозможна.

## СПИСОК ЛИТЕРАТУРЫ

[1] Петникова В. М., Плешанов С. А., Шувалов В. В.//Опт. и спектр. 1985. 59. С. 288. [2] Weiner A. M., Ірреп Е. Р.//Орt. Lett. 1984. 9. Р. 53. [3] Тау-lor A. J., Erskine D. J., Tang C. L.//Chem. Phys. Lett. 1983. 103. Р. 430; Appl. Phys. Lett. 1983. 43. Р. 989. [4] Аіһага М.//Phys. Rev. 1982. B25. Р. 53; 1983. B27. Р. 5904; 1984. B30. Р. 6238. [5] Файнберг Б. Д.//Опт. и спектр. 1983. 55. С. 1098; 1985. 58. С. 533; Файнберг Б. Д., Непорент И. Б.//Там же. 1986. 61. С. 48. [6] Коварский В. А., Перельман Н. Ф., Авербух И. Ш. Многоквантовые процессы. М., 1985. [7] Перлян Ю. Е.//УФН. 1963. 80. С. 553. [8] Dellepiane G. et al.//J. Phys. Chem. 1984. 88. Р. 560. [9] Мазуренко Ю. Т., Смирнов В. А.///Опт. и спектр. 1978. 45. С. 23. [10] Гришанин Б. А., Петникова В. М., Шувалов В. В.//Журн. прикл. спектр. 1986. 45. С. 805.

Поступила в редакцию 11.03.87